

埋立地盤におけるパイルド・ラフト基礎建物の静的水平載荷解析 (その1: 建物および地盤概要と水平載荷解析前の沈下解析)

正会員 ○松本 樹典*
正会員 園田 隆一**
正会員 Kitiyodom Pastsakorn ***

パイルド・ラフト 沈下解析 荷重増分解
地盤定数 現場沈下計測 鉛直荷重分担率

1.はじめに

筆者らは、水平荷重が作用した場合のパイルド・ラフト基礎の挙動を把握し、その設計手法を検討することを目的として、埋立地盤に建てられたパイルド・ラフト基礎建物を対象として、静的増分水平載荷解析を行った。その1では、建物および地盤概要を説明するとともに、静的水平載荷解析を行う際の初期応力状態を設定するため、常時荷重に対する沈下解析を行ったので、その内容について報告する。

2. 建物および地盤概要

2.1 建物概要

解析対象の建物は、地上4階、延べ床面積が約7,330m²の規模を有し、上部構造は鉄骨造である。図1に杭伏図、ボーリング位置および沈下計測位置を示す。杭は既成コンクリート杭(PHC節杭)で、杭長12m、軸部外径0.5m、節部外径0.65mを有する。この杭を柱直下(○印)と建物中央部分のx方向スパン中心(⊕印)およびy方向スパン中心(□印)に配置し、不同沈下低減に配慮している。ラフト厚さは0.4m、基礎梁成は2.4mである。

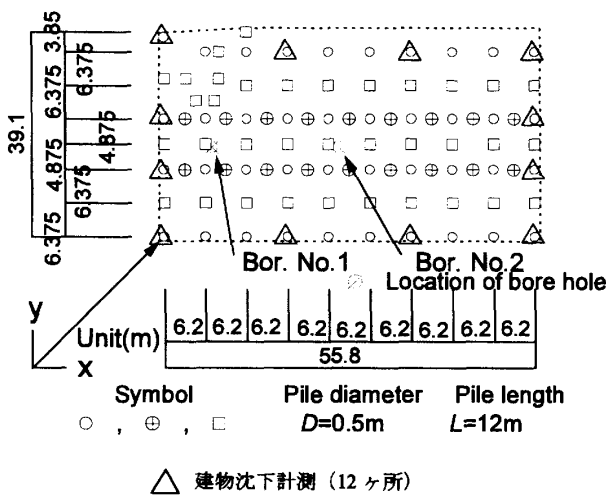


図1 杭伏図、ボーリング位置および沈下計測位置

2.2 地盤概要

Bor. No.1の標準貫入試験結果を図2に示す。地表面か

A case study of piled raft foundation in reclaimed ground and its static lateral loading analysis (Part I: Outline of building, ground and settlement analysis)

らGL-20mまでがサンドドレーン工法により地盤改良が行われた埋立地盤、GL-20mからGL-45mまでが沖積粘性土層、GL-45mからGL-63mまでが洪積粘性土と砂質土の互層となっている。

解析で用いる微小ひずみレベルでの地盤のせん断弾性係数G₀は、地盤のせん断波速度を式(1)^①により推定し、式(2)を用いて算出した。図2に、推定したせん断波速度と地盤定数を示す。なお、N値はBor. No.1の値を用いた。

$$V_s = 68.79 \times N^{0.171} \times H^{0.199} \times Y_g \times S_t \quad (1)$$

V_s : Shear wave velocity (m/s)

N : N-value

H : Depth from G.L. (m)

Y_g : Geologic time coefficient

S_t : Parameter depending on soil type

$$G_0 = \rho_i V_s^2 \quad (2)$$

G_0 : Shear modulus

ρ_i : Total density

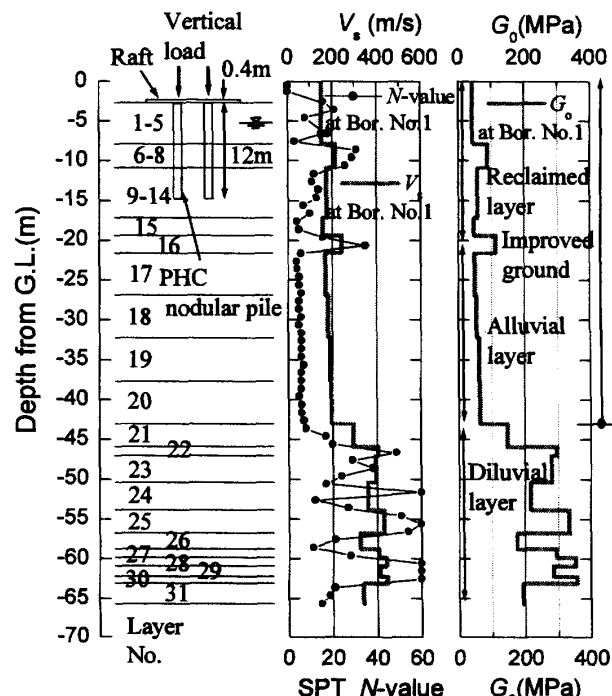


図2 推定されたせん断波速度と地盤定数、地盤モデル

MATSUMOTO Tatsunori, SONODA Ryuichi,
KITIYODOM Pastsakorn

3. 沈下解析

3.1 解析概要

図2に地盤モデルを示す。地盤は、建物長辺方向長さ55.8mを超える深さ65.5mまでBor. No.1に基づきモデル化した。地盤層数は全31層とし、一つの層は平面的に均一地盤とした。地盤のポアソン比は排水条件とし $\nu_s = 0.3$ とした。

解析は、三次元簡易変形解析プログラムPRAB²³⁾を用いて行った。図3に基礎構造の解析モデルを示す。建物は下部構造(ラフト:厚0.4m、地中梁:高2.4m、節杭:杭長12m、外径は節径0.65m、内径は軸部内径0.34mの円筒形)のみモデル化した。表1に材料諸元を示す。

杭先端、杭周面およびラフト下の地盤定数 G_0 の低減率は、文献4)を参考に、それぞれ0.2、0.5、0.5とした。相互作用を計算する場合の G_0 の低減率は1.0とした。

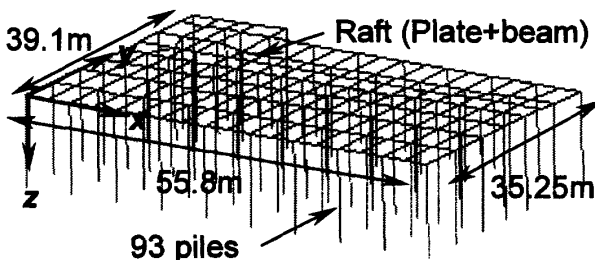


図3 基礎構造の解析モデル

表1 材料諸元

	E (GPa)	ν
ラフト、基礎梁	22.6	0.16
節付きPHC杭	40.0	0.16

上部構造は、鉛直荷重(固定荷重と積載荷重の和)として考慮した。図4にラフト節点総入力鉛直荷重の分布を示す。総鉛直荷重は、133925kNである。解析ステップは、5ステップとし、1ステップあたりの鉛直荷重は、総入力鉛直荷重の1/5とした。

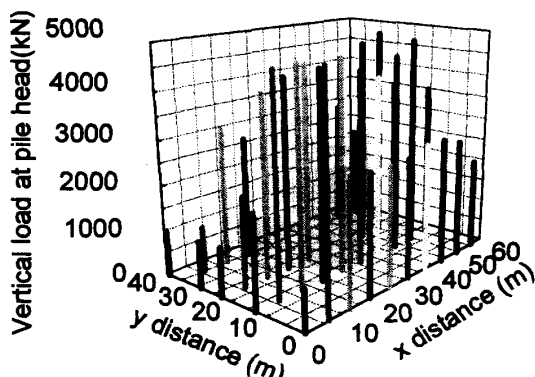


図4 ラフト節点入力鉛直荷重

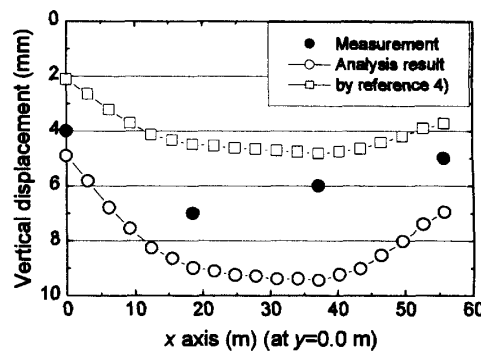
*金沢大学大学院 教授・工博

**金沢大学大学院 博士後期課程学生・工修

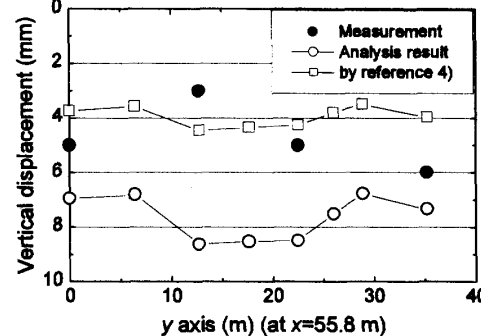
***金沢大学大学院 助教・工博

3.2 解析結果

図5(a), (b)に、パイルド・ラフト基礎の鉛直変位の解析結果と計測値を示す。図には、参考に文献4)で示されている解析結果(杭先端、杭周面およびラフト下の地盤定数 G_0 の低減率が、それぞれ0.2、0.5、0.5とした場合)も示してある。解析結果は計測値を過大評価しているが、沈下傾向は概ね類似している。これは、計測値が、基礎梁コンクリート打設後を計測開始時とし、建物竣工時を計測終了時としているため、ラフトおよび基礎梁コンクリート自重による沈下量を計測できていないためである。参考に記載した文献4)の解析結果は、ラフトおよび基礎梁コンクリート自重を差し引いた荷重を入力荷重としている。杭の鉛直荷重分担率は、66%であった。



(a) 鉛直変位 ($y=0.0\text{m}$ 位置)



(b) 鉛直変位 ($x=55.8\text{m}$ 位置)

図5 パイルド・ラフト基礎の鉛直変位

4.まとめ

パイルド・ラフト基礎の静的水平載荷解析結果は、その2で報告する。

参考文献

- 1) 大田裕, 他 (1976). S波速度を他の土質的指標から推定する試み, 物理探査 第29卷 第4号 pp. 31-41.
- 2) Kitayodom, P. & Matsumoto, T. (2002). A simplified analysis method for piled raft and pile group foundations with batter piles. International Journal for Numerical and Analytical Methods in Geomechanics 26, pp. 1349-1369.
- 3) Kitayodom, P. & Matsumoto, T. (2003). A simplified analysis method for piled raft foundations in non-homogeneous soils. International Journal for Numerical and Analytical Methods in Geomechanics 27, pp. 85-109.
- 4) 田中隆一, 他 (2008). 地盤改良された埋立造成粘性土地盤におけるパイルド・ラフト基礎建物の事後解析(その2:沈下解析結果と計測値の比較), 第43回地盤工学研究発表会(投稿中).

*Professor, Kanazawa University, Dr. Eng.

**Doctor Student, Kanazawa University, M. Eng.

***Assistant Professor, Kanazawa University, Dr. Eng.